

Fig. 2.125. Spatial distribution of maximum annual cumulative duration of extremely severe cold waves/cold spells
Distribuția spațială a duratei cumulate maxime anuale a valurilor de frig/perioadelor reci extrem de severe

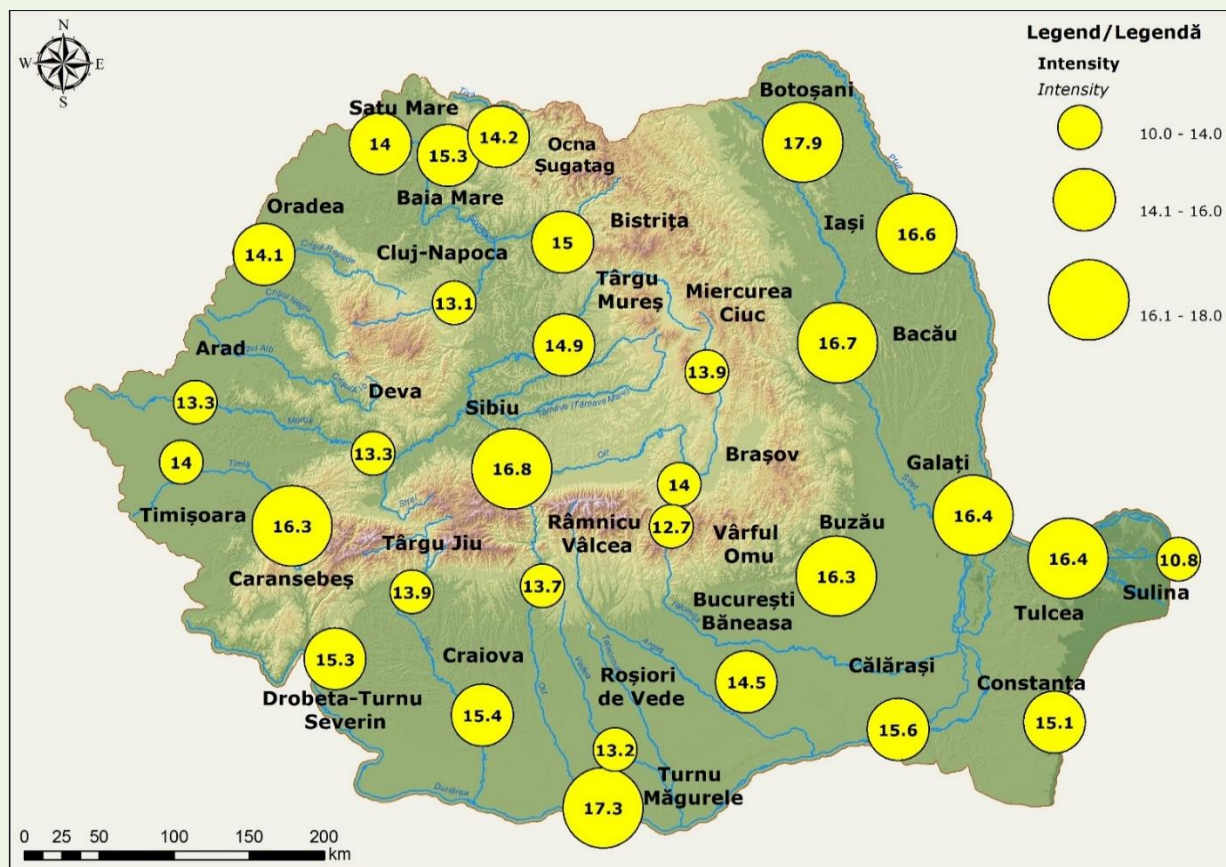


Fig. 2.126. Spatial distribution of maximum annual intensity of extremely severe cold waves/cold spells
Distribuția spațială a intensității maxime anuale a valurilor de frig/perioadelor reci extrem de severe

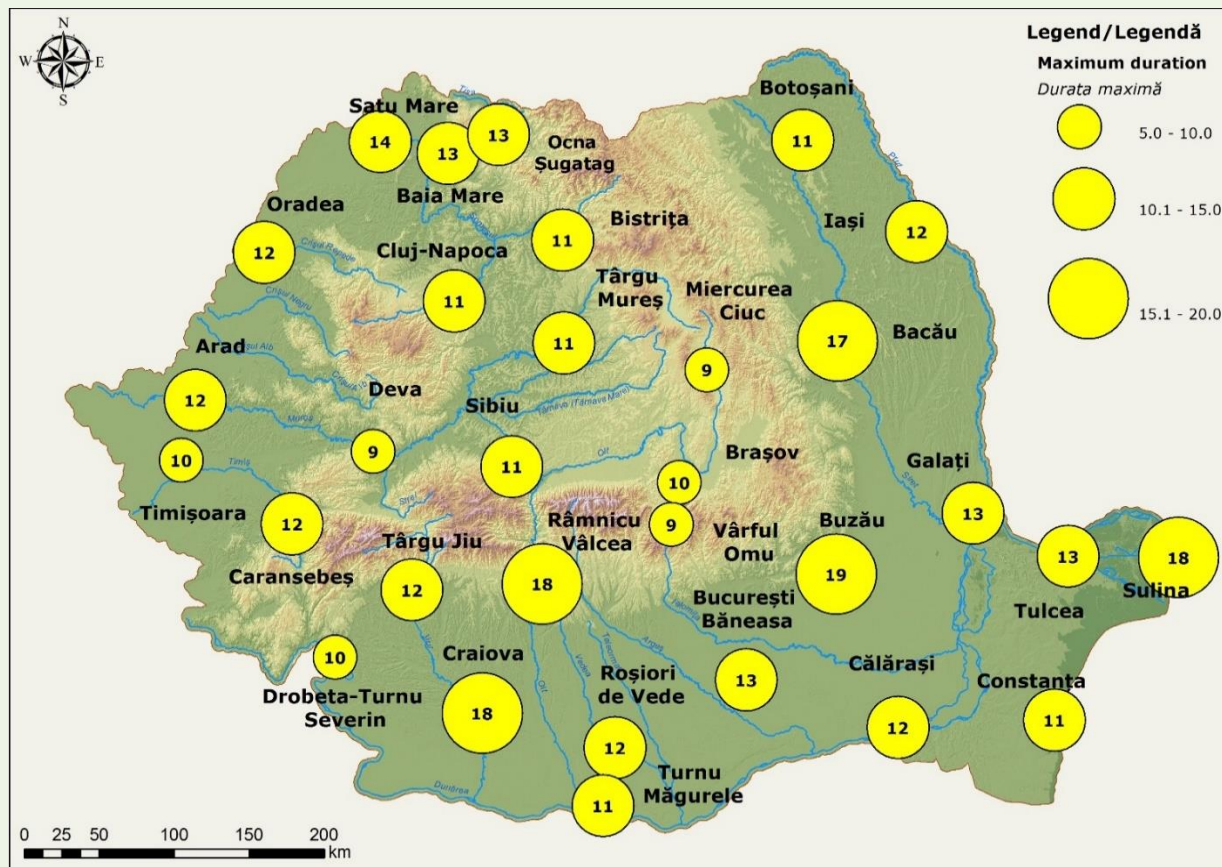


Fig. 2.127. Spatial distribution of maximum annual duration of extremely severe cold waves/cold spells
Distribuția spațială a duratei maxime anuale a valurilor de frig/perioadelor reci extrem de severe

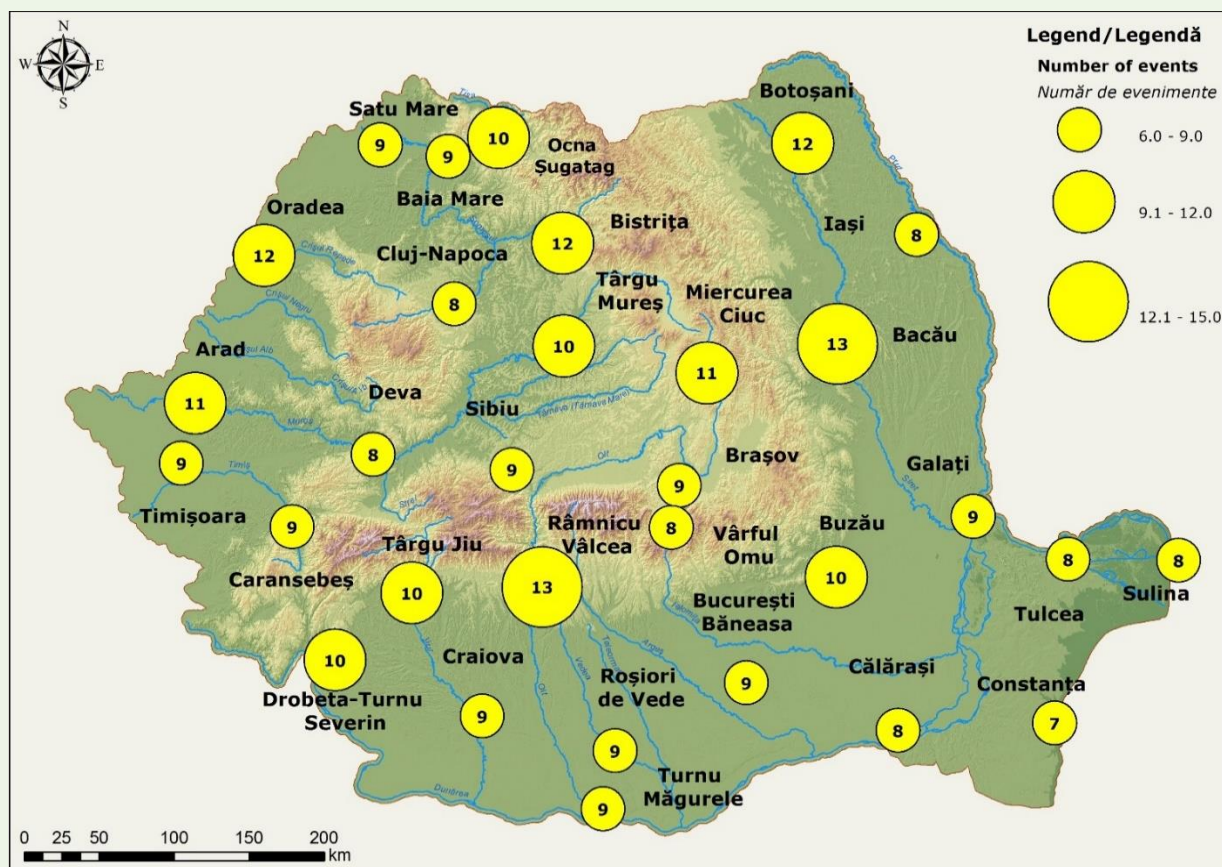


Fig. 2.128. Spatial distribution of maximum annual number of extremely severe cold waves/cold spells
Distribuția spațială a numărului maxim anual al valurilor de frig/perioadelor reci extrem de severe

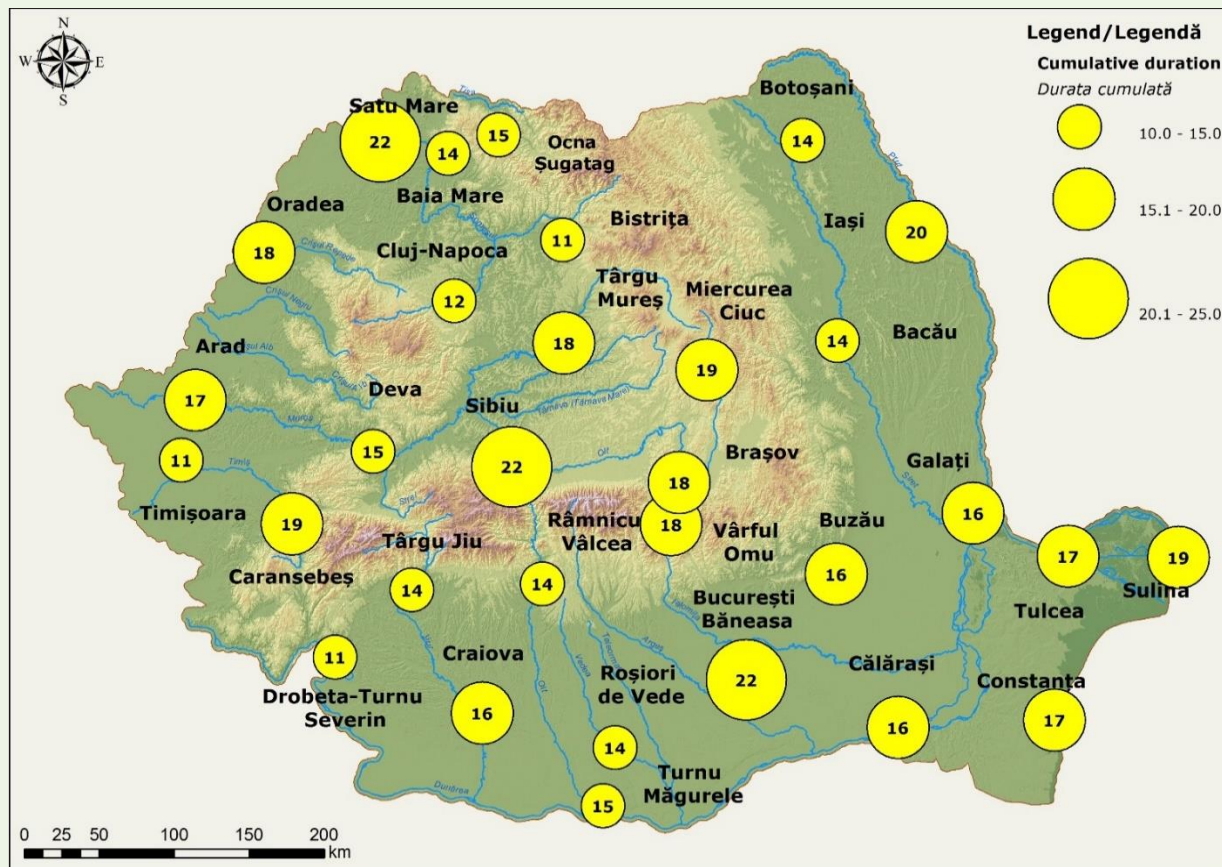


Fig. 2.129. Spatial distribution of mean annual cumulative duration of extremely severe cold waves/cold spells
Distribuția spațială a duratei cumulate medii anuale a valurilor de frig/perioadelor reci extrem de severe

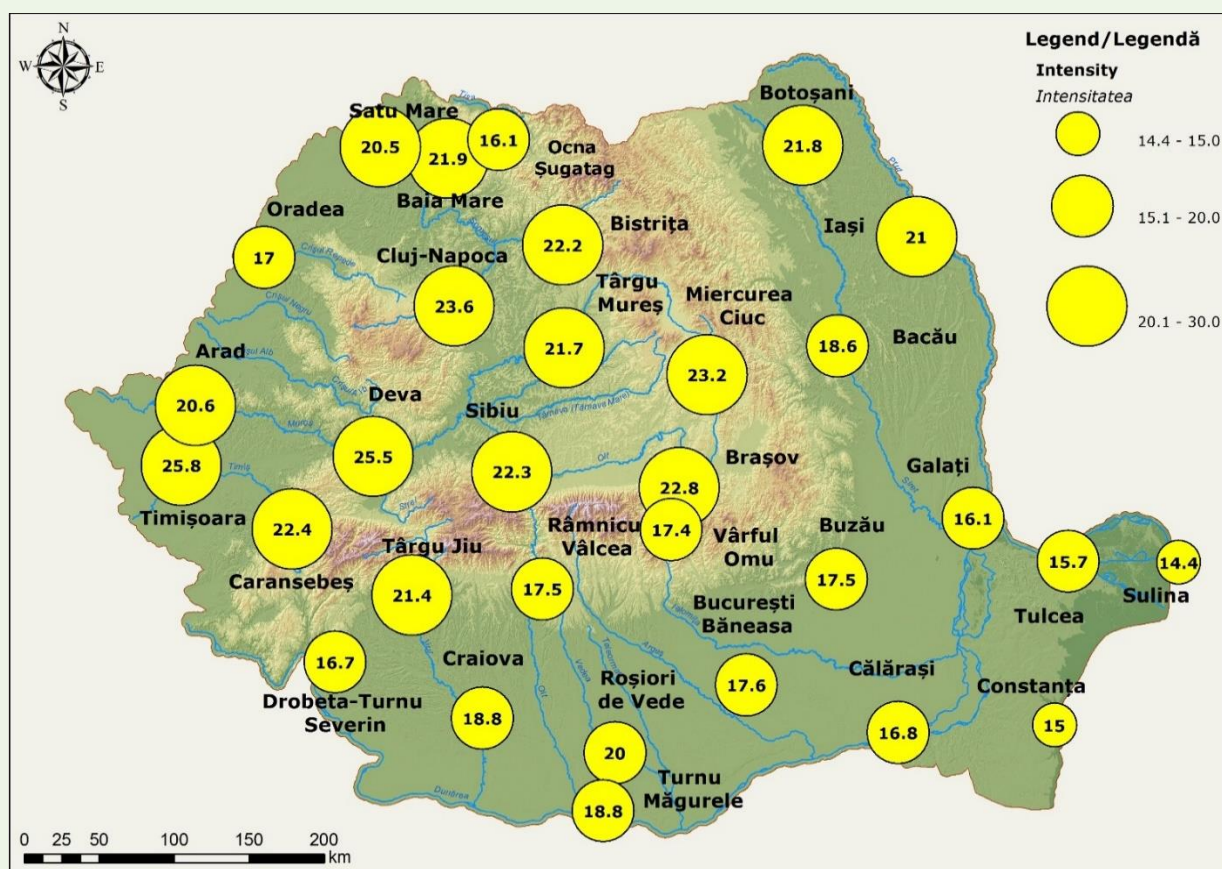


Fig. 2.130. Spatial distribution of mean annual intensity of extremely severe cold waves/cold spells
Distribuția spațială a intensității medii anuale a valurilor de frig/perioadelor reci extrem de severe

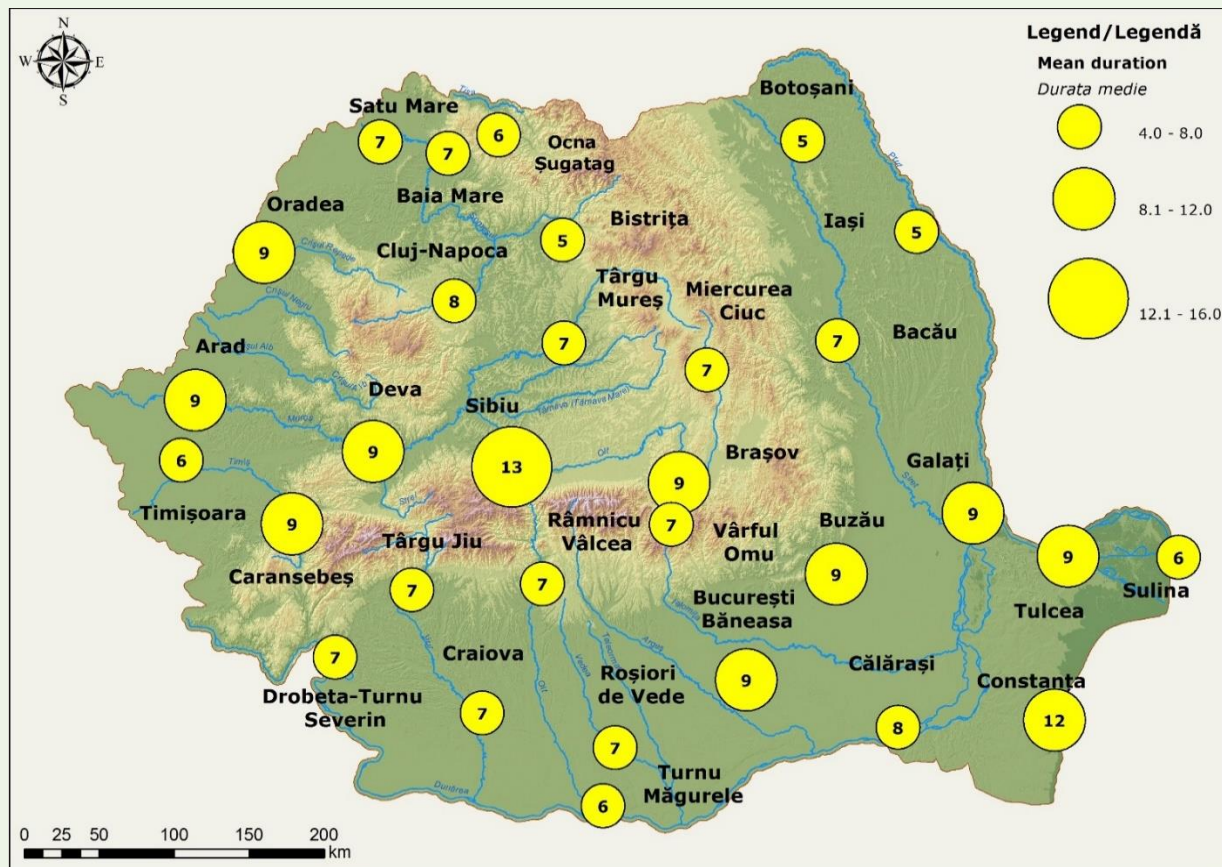


Fig. 2.131. Spatial distribution of mean annual duration of extremely severe cold waves/cold spells
Distribuția spațială a duratei medii anuale a valurilor de frig/perioadelor reci extrem de severe

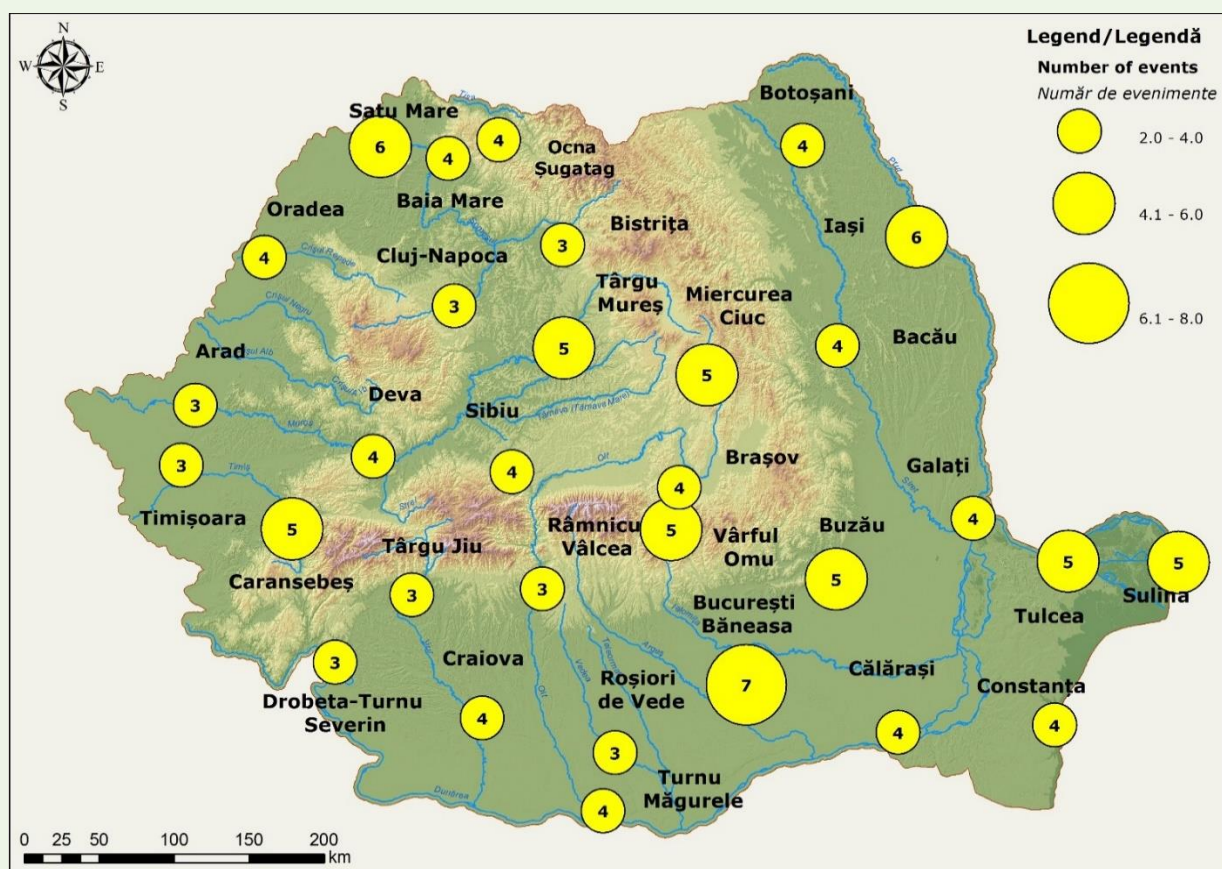


Fig. 2.132. Spatial distribution of mean annual number of extremely severe cold waves/cold spells
Distribuția spațială a numărului mediu anual al valurilor de frig/perioadelor reci extrem de severe